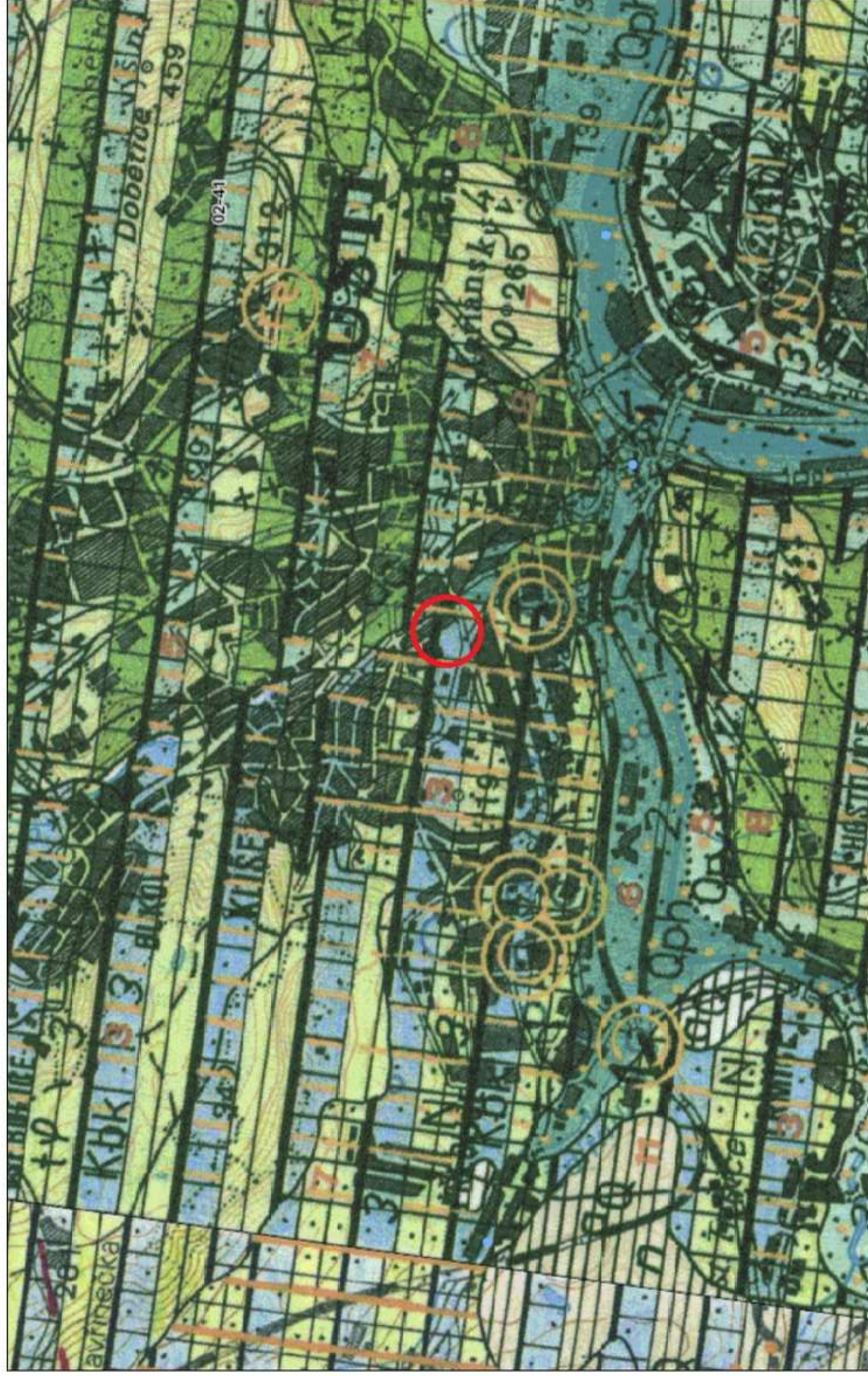
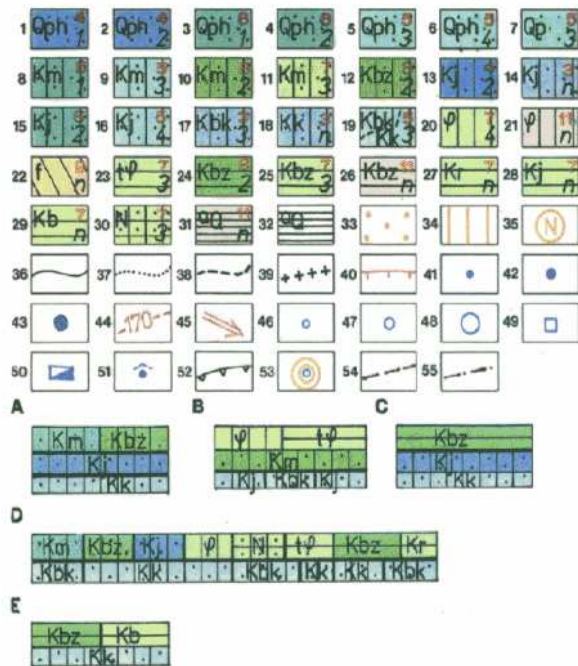


Hydrogeologická mapa širšího okolí UJEP



legenda k hydrogeologické mapě



TPP HYDROGEOLOGICKÉHO PROSTŘEDÍ A JEHO KVANTITATIVNÍ CHARAKTERISTIKA: Na mapě jsou podkladovou úrovní zobrazeny typy hydrogeologického prostředí a směrem podkladové úrovně šrafování jejich uspořádání. Barva v ploše zobrazuje základní kvantitativní charakteristiku zvodněného kolektoru - transmisivitu (průtlačnost), která vyjadřuje schopnost zvodněného kolektoru propustit určité množství podzemní vody a přibližně také naznačuje jeho vodo hospodářskou využitelnost. Transmisivita je vyjádřena barvou vyplývající z odhadnuté (podle indexu transmisivity T) nebo zjištěné převládající hodnoty koeficientu transmisivity T ($m^2 s^{-1}$) v mapě použité barvy a jím odpovídající velikosti převládající transmisivity vymezují území s různými předpoklady pro vodo hospodářské využití podzemních vod (viz tabulka legendy). Plošná proměnlivost transmisivity je vyjádřena odstínem barvy, který se řídí velikostí směrodatné odchylky indexu transmisivity s_T . Hodnota směrodatné odchylky s_T je vyjádřena číselným indexem 1 až 4, případně n : $s_T < 0,3$ index 1, $s_T 0,3-0,6$ index 2, $s_T 0,6-0,9$ index 3, $s_T > 0,9$ index 4, s_T nelze stanovit - index n . Snížení rozlišení barev a jejich odstínů umožňuje čtení číselné indexy 1 až 12, z nichž sudé označují silnější odstín (kolektory s nízkou variabilitou transmisivity - černé indexy 2 a 4) a liché slabší odstín (kolektory s vysokou nebo neznámou variabilitou transmisivity - černé indexy 3 a 4 nebo n). Stratigrafická příslušnost hydrogeologického prostředí nebo jeho převládající petrografický typ jsou vyznačeny zjednodušenými indexy.

Průlinový kolektor: fluvialní písků a štěrky údolní nížiny, překryté slabou vrstvou povodňových hlín (kvartér, pleistocén až holocén Qph, 1-6); 1 - údolí Labe v Libochově: $T 1,9 \cdot 10^{-4} - 4,3 \cdot 10^{-4} m^2 s^{-1}$, $s_T 0,18$; 2 - údolí Labe v Dobrušce (v návaznosti na list 02-23 Děčín): $T 7,2 \cdot 10^{-4} - 3,7 \cdot 10^{-3} m^2 s^{-1}$, $s_T 0,35$; 3 - údolí Labe od Sebzína po soutok s Blinnou: $T 3,9 \cdot 10^{-4} - 7,1 \cdot 10^{-4} m^2 s^{-1}$, $s_T 0,18$; 4 - údolí Labe od soutoku s Blinnou po Dobrušku: $T 4,5 \cdot 10^{-4} - 6,3 \cdot 10^{-4} m^2 s^{-1}$, $s_T 0,55$; b) údolí Blinný a Žitavského potoka před ústím do Labe: $T 1,9 \cdot 10^{-4} - 2,9 \cdot 10^{-3} m^2 s^{-1}$, $s_T 0,58$; 5 - údolí Blinný (v návaznosti na list 02-32 Teplice): $T 2,5 \cdot 10^{-4} - 5,0 \cdot 10^{-4} m^2 s^{-1}$, $s_T 0,65$; 6 - údolí Labe v Sebzíně (propojení kolektorů Qph a Km): $T 7,8 \cdot 10^{-4} - 5,2 \cdot 10^{-4} m^2 s^{-1}$, $s_T 0,91$; 7 - fluvialní štěrky opírající se o Laběcké terasy v Ústí n. L., Krámského Března a Velkého Března, zčásti překryté vápennými písků (pleistocén Qp): $T 1,1 \cdot 10^{-4} - 6,2 \cdot 10^{-4} m^2 s^{-1}$, $s_T 0,9$.

průlinovo-puklinový kolektor: jílovité až křemenné pískovce s vložkami jílovitých prachovců až jílovců (merbolické souvrství Km, 8-11); 8 - v. okraj mapy (v návaznosti na list 02-42 Česká Lípa): $T 1,1 \cdot 10^{-4} - 1,1 \cdot 10^{-4} m^2 s^{-1}$, $s_T < 0,3$; 9 - východní okraj mapy: $T 9,3 \cdot 10^{-4} - 2,1 \cdot 10^{-3} m^2 s^{-1}$, $s_T 0,67$; 10 - západní okraj mapy: $T 4,1 \cdot 10^{-4} - 3,4 \cdot 10^{-4} m^2 s^{-1}$, $s_T 0,46$; 11 - s. okraj mapy (v návaznosti na list 02-23 Děčín): $T 1,5 \cdot 10^{-4} - 2,7 \cdot 10^{-4} m^2 s^{-1}$, $s_T 0,64$; 12 - silnice a vápenné jílovce s vložkami pískovců (flyšoidní facie březenského souvrství Kbz): $T 2,3 \cdot 10^{-4} - 3,1 \cdot 10^{-4} m^2 s^{-1}$, $s_T 0,56$; křemenné, vápenné-jílovité a silné pískovce až prachovce a písečné silnice (jizerské souvrství KJ, 13-16); 13 - v. okraj mapy: $T 1,1 \cdot 10^{-4} - 6,1 \cdot 10^{-4} m^2 s^{-1}$, $s_T 0,3-0,6$; 14 - sv. okraj listu: T dle, s_T nelze stanovit; 15 - návaznost na vývoj v okolí Ústí: $T 1,1 \cdot 10^{-4} - 1,1 \cdot 10^{-4} m^2 s^{-1}$, $s_T 0,3-0,6$; 16 - v. sv. okraj listu: T dle, s_T nelze stanovit; 17 - v. okraj mapy: $T 3,7 \cdot 10^{-4} - 5,1 \cdot 10^{-4} m^2 s^{-1}$, $s_T 0,91$; křemenné, zčásti silicifikované pískovce a křemence s polohami jílovitých pískovců a písečných jílovců (bélchoranské a koryčanské souvrství Kbk): $T 2,3 \cdot 10^{-4} - 3,1 \cdot 10^{-4} m^2 s^{-1}$, $s_T 0,56$; 18 - v. okraj mapy: $T 1,1 \cdot 10^{-4} - 1,1 \cdot 10^{-4} m^2 s^{-1}$, $s_T 0,3-0,6$; 19 - v. okraj mapy: $T 1,1 \cdot 10^{-4} - 1,1 \cdot 10^{-4} m^2 s^{-1}$, $s_T 0,3-0,6$; 20 - v. okraj mapy: $T 1,1 \cdot 10^{-4} - 1,1 \cdot 10^{-4} m^2 s^{-1}$, $s_T 0,3-0,6$; 21 - v. okraj mapy: $T 1,1 \cdot 10^{-4} - 1,1 \cdot 10^{-4} m^2 s^{-1}$, $s_T 0,3-0,6$; 22 - v. okraj mapy: $T 1,1 \cdot 10^{-4} - 1,1 \cdot 10^{-4} m^2 s^{-1}$, $s_T 0,3-0,6$; 23 - v. okraj mapy: $T 1,1 \cdot 10^{-4} - 1,1 \cdot 10^{-4} m^2 s^{-1}$, $s_T 0,3-0,6$; 24 - v. okraj mapy: $T 1,1 \cdot 10^{-4} - 1,1 \cdot 10^{-4} m^2 s^{-1}$, $s_T 0,3-0,6$; 25 - v. okraj mapy: $T 1,1 \cdot 10^{-4} - 1,1 \cdot 10^{-4} m^2 s^{-1}$, $s_T 0,3-0,6$; 26 - v. okraj mapy: $T 1,1 \cdot 10^{-4} - 1,1 \cdot 10^{-4} m^2 s^{-1}$, $s_T 0,3-0,6$; 27 - v. okraj mapy: $T 1,1 \cdot 10^{-4} - 1,1 \cdot 10^{-4} m^2 s^{-1}$, $s_T 0,3-0,6$; 28 - v. okraj mapy: $T 1,1 \cdot 10^{-4} - 1,1 \cdot 10^{-4} m^2 s^{-1}$, $s_T 0,3-0,6$; 29 - v. okraj mapy: $T 1,1 \cdot 10^{-4} - 1,1 \cdot 10^{-4} m^2 s^{-1}$, $s_T 0,3-0,6$; 30 - v. okraj mapy: $T 1,1 \cdot 10^{-4} - 1,1 \cdot 10^{-4} m^2 s^{-1}$, $s_T 0,3-0,6$; 31 - v. okraj mapy: $T 1,1 \cdot 10^{-4} - 1,1 \cdot 10^{-4} m^2 s^{-1}$, $s_T 0,3-0,6$; 32 - v. okraj mapy: $T 1,1 \cdot 10^{-4} - 1,1 \cdot 10^{-4} m^2 s^{-1}$, $s_T 0,3-0,6$; 33 - v. okraj mapy: $T 1,1 \cdot 10^{-4} - 1,1 \cdot 10^{-4} m^2 s^{-1}$, $s_T 0,3-0,6$; 34 - v. okraj mapy: $T 1,1 \cdot 10^{-4} - 1,1 \cdot 10^{-4} m^2 s^{-1}$, $s_T 0,3-0,6$; 35 - v. okraj mapy: $T 1,1 \cdot 10^{-4} - 1,1 \cdot 10^{-4} m^2 s^{-1}$, $s_T 0,3-0,6$; 36 - v. okraj mapy: $T 1,1 \cdot 10^{-4} - 1,1 \cdot 10^{-4} m^2 s^{-1}$, $s_T 0,3-0,6$; 37 - v. okraj mapy: $T 1,1 \cdot 10^{-4} - 1,1 \cdot 10^{-4} m^2 s^{-1}$, $s_T 0,3-0,6$; 38 - v. okraj mapy: $T 1,1 \cdot 10^{-4} - 1,1 \cdot 10^{-4} m^2 s^{-1}$, $s_T 0,3-0,6$; 39 - v. okraj mapy: $T 1,1 \cdot 10^{-4} - 1,1 \cdot 10^{-4} m^2 s^{-1}$, $s_T 0,3-0,6$; 40 - v. okraj mapy: $T 1,1 \cdot 10^{-4} - 1,1 \cdot 10^{-4} m^2 s^{-1}$, $s_T 0,3-0,6$; 41 - v. okraj mapy: $T 1,1 \cdot 10^{-4} - 1,1 \cdot 10^{-4} m^2 s^{-1}$, $s_T 0,3-0,6$; 42 - v. okraj mapy: $T 1,1 \cdot 10^{-4} - 1,1 \cdot 10^{-4} m^2 s^{-1}$, $s_T 0,3-0,6$; 43 - v. okraj mapy: $T 1,1 \cdot 10^{-4} - 1,1 \cdot 10^{-4} m^2 s^{-1}$, $s_T 0,3-0,6$; 44 - v. okraj mapy: $T 1,1 \cdot 10^{-4} - 1,1 \cdot 10^{-4} m^2 s^{-1}$, $s_T 0,3-0,6$; 45 - v. okraj mapy: $T 1,1 \cdot 10^{-4} - 1,1 \cdot 10^{-4} m^2 s^{-1}$, $s_T 0,3-0,6$; 46 - v. okraj mapy: $T 1,1 \cdot 10^{-4} - 1,1 \cdot 10^{-4} m^2 s^{-1}$, $s_T 0,3-0,6$; 47 - v. okraj mapy: $T 1,1 \cdot 10^{-4} - 1,1 \cdot 10^{-4} m^2 s^{-1}$, $s_T 0,3-0,6$; 48 - v. okraj mapy: $T 1,1 \cdot 10^{-4} - 1,1 \cdot 10^{-4} m^2 s^{-1}$, $s_T 0,3-0,6$; 49 - v. okraj mapy: $T 1,1 \cdot 10^{-4} - 1,1 \cdot 10^{-4} m^2 s^{-1}$, $s_T 0,3-0,6$; 50 - v. okraj mapy: $T 1,1 \cdot 10^{-4} - 1,1 \cdot 10^{-4} m^2 s^{-1}$, $s_T 0,3-0,6$; 51 - v. okraj mapy: $T 1,1 \cdot 10^{-4} - 1,1 \cdot 10^{-4} m^2 s^{-1}$, $s_T 0,3-0,6$; 52 - v. okraj mapy: $T 1,1 \cdot 10^{-4} - 1,1 \cdot 10^{-4} m^2 s^{-1}$, $s_T 0,3-0,6$; 53 - v. okraj mapy: $T 1,1 \cdot 10^{-4} - 1,1 \cdot 10^{-4} m^2 s^{-1}$, $s_T 0,3-0,6$; 54 - v. okraj mapy: $T 1,1 \cdot 10^{-4} - 1,1 \cdot 10^{-4} m^2 s^{-1}$, $s_T 0,3-0,6$; 55 - v. okraj mapy: $T 1,1 \cdot 10^{-4} - 1,1 \cdot 10^{-4} m^2 s^{-1}$, $s_T 0,3-0,6$; 56 - v. okraj mapy: $T 1,1 \cdot 10^{-4} - 1,1 \cdot 10^{-4} m^2 s^{-1}$, $s_T 0,3-0,6$; 57 - v. okraj mapy: $T 1,1 \cdot 10^{-4} - 1,1 \cdot 10^{-4} m^2 s^{-1}$, $s_T 0,3-0,6$; 58 - v. okraj mapy: $T 1,1 \cdot 10^{-4} - 1,1 \cdot 10^{-4} m^2 s^{-1}$, $s_T 0,3-0,6$; 59 - v. okraj mapy: $T 1,1 \cdot 10^{-4} - 1,1 \cdot 10^{-4} m^2 s^{-1}$, $s_T 0,3-0,6$; 60 - v. okraj mapy: $T 1,1 \cdot 10^{-4} - 1,1 \cdot 10^{-4} m^2 s^{-1}$, $s_T 0,3-0,6$; 61 - v. okraj mapy: $T 1,1 \cdot 10^{-4} - 1,1 \cdot 10^{-4} m^2 s^{-1}$, $s_T 0,3-0,6$; 62 - v. okraj mapy: $T 1,1 \cdot 10^{-4} - 1,1 \cdot 10^{-4} m^2 s^{-1}$, $s_T 0,3-0,6$; 63 - v. okraj mapy: $T 1,1 \cdot 10^{-4} - 1,1 \cdot 10^{-4} m^2 s^{-1}$, $s_T 0,3-0,6$; 64 - v. okraj mapy: $T 1,1 \cdot 10^{-4} - 1,1 \cdot 10^{-4} m^2 s^{-1}$, $s_T 0,3-0,6$; 65 - v. okraj mapy: $T 1,1 \cdot 10^{-4} - 1,1 \cdot 10^{-4} m^2 s^{-1}$, $s_T 0,3-0,6$; 66 - v. okraj mapy: $T 1,1 \cdot 10^{-4} - 1,1 \cdot 10^{-4} m^2 s^{-1}$, $s_T 0,3-0,6$; 67 - v. okraj mapy: $T 1,1 \cdot 10^{-4} - 1,1 \cdot 10^{-4} m^2 s^{-1}$, $s_T 0,3-0,6$; 68 - v. okraj mapy: $T 1,1 \cdot 10^{-4} - 1,1 \cdot 10^{-4} m^2 s^{-1}$, $s_T 0,3-0,6$; 69 - v. okraj mapy: $T 1,1 \cdot 10^{-4} - 1,1 \cdot 10^{-4} m^2 s^{-1}$, $s_T 0,3-0,6$; 70 - v. okraj mapy: $T 1,1 \cdot 10^{-4} - 1,1 \cdot 10^{-4} m^2 s^{-1}$, $s_T 0,3-0,6$; 71 - v. okraj mapy: $T 1,1 \cdot 10^{-4} - 1,1 \cdot 10^{-4} m^2 s^{-1}$, $s_T 0,3-0,6$; 72 - v. okraj mapy: $T 1,1 \cdot 10^{-4} - 1,1 \cdot 10^{-4} m^2 s^{-1}$, $s_T 0,3-0,6$; 73 - v. okraj mapy: $T 1,1 \cdot 10^{-4} - 1,1 \cdot 10^{-4} m^2 s^{-1}$, $s_T 0,3-0,6$; 74 - v. okraj mapy: $T 1,1 \cdot 10^{-4} - 1,1 \cdot 10^{-4} m^2 s^{-1}$, $s_T 0,3-0,6$; 75 - v. okraj mapy: $T 1,1 \cdot 10^{-4} - 1,1 \cdot 10^{-4} m^2 s^{-1}$, $s_T 0,3-0,6$; 76 - v. okraj mapy: $T 1,1 \cdot 10^{-4} - 1,1 \cdot 10^{-4} m^2 s^{-1}$, $s_T 0,3-0,6$; 77 - v. okraj mapy: $T 1,1 \cdot 10^{-4} - 1,1 \cdot 10^{-4} m^2 s^{-1}$, $s_T 0,3-0,6$; 78 - v. okraj mapy: $T 1,1 \cdot 10^{-4} - 1,1 \cdot 10^{-4} m^2 s^{-1}$, $s_T 0,3-0,6$; 79 - v. okraj mapy: $T 1,1 \cdot 10^{-4} - 1,1 \cdot 10^{-4} m^2 s^{-1}$, $s_T 0,3-0,6$; 80 - v. okraj mapy: $T 1,1 \cdot 10^{-4} - 1,1 \cdot 10^{-4} m^2 s^{-1}$, $s_T 0,3-0,6$; 81 - v. okraj mapy: $T 1,1 \cdot 10^{-4} - 1,1 \cdot 10^{-4} m^2 s^{-1}$, $s_T 0,3-0,6$; 82 - v. okraj mapy: $T 1,1 \cdot 10^{-4} - 1,1 \cdot 10^{-4} m^2 s^{-1}$, $s_T 0,3-0,6$; 83 - v. okraj mapy: $T 1,1 \cdot 10^{-4} - 1,1 \cdot 10^{-4} m^2 s^{-1}$, $s_T 0,3-0,6$; 84 - v. okraj mapy: $T 1,1 \cdot 10^{-4} - 1,1 \cdot 10^{-4} m^2 s^{-1}$, $s_T 0,3-0,6$; 85 - v. okraj mapy: $T 1,1 \cdot 10^{-4} - 1,1 \cdot 10^{-4} m^2 s^{-1}$, $s_T 0,3-0,6$; 86 - v. okraj mapy: $T 1,1 \cdot 10^{-4} - 1,1 \cdot 10^{-4} m^2 s^{-1}$, $s_T 0,3-0,6$; 87 - v. okraj mapy: $T 1,1 \cdot 10^{-4} - 1,1 \cdot 10^{-4} m^2 s^{-1}$, $s_T 0,3-0,6$; 88 - v. okraj mapy: $T 1,1 \cdot 10^{-4} - 1,1 \cdot 10^{-4} m^2 s^{-1}$, $s_T 0,3-0,6$; 89 - v. okraj mapy: $T 1,1 \cdot 10^{-4} - 1,1 \cdot 10^{-4} m^2 s^{-1}$, $s_T 0,3-0,6$; 90 - v. okraj mapy: $T 1,1 \cdot 10^{-4} - 1,1 \cdot 10^{-4} m^2 s^{-1}$, $s_T 0,3-0,6$; 91 - v. okraj mapy: $T 1,1 \cdot 10^{-4} - 1,1 \cdot 10^{-4} m^2 s^{-1}$, $s_T 0,3-0,6$; 92 - v. okraj mapy: $T 1,1 \cdot 10^{-4} - 1,1 \cdot 10^{-4} m^2 s^{-1}$, $s_T 0,3-0,6$; 93 - v. okraj mapy: $T 1,1 \cdot 10^{-4} - 1,1 \cdot 10^{-4} m^2 s^{-1}$, $s_T 0,3-0,6$; 94 - v. okraj mapy: $T 1,1 \cdot 10^{-4} - 1,1 \cdot 10^{-4} m^2 s^{-1}$, $s_T 0,3-0,6$; 95 - v. okraj mapy: $T 1,1 \cdot 10^{-4} - 1,1 \cdot 10^{-4} m^2 s^{-1}$, $s_T 0,3-0,6$; 96 - v. okraj mapy: $T 1,1 \cdot 10^{-4} - 1,1 \cdot 10^{-4} m^2 s^{-1}$, $s_T 0,3-0,6$; 97 - v. okraj mapy: $T 1,1 \cdot 10^{-4} - 1,1 \cdot 10^{-4} m^2 s^{-1}$, $s_T 0,3-0,6$; 98 - v. okraj mapy: $T 1,1 \cdot 10^{-4} - 1,1 \cdot 10^{-4} m^2 s^{-1}$, $s_T 0,3-0,6$; 99 - v. okraj mapy: $T 1,1 \cdot 10^{-4} - 1,1 \cdot 10^{-4} m^2 s^{-1}$, $s_T 0,3-0,6$; 100 - v. okraj mapy: $T 1,1 \cdot 10^{-4} - 1,1 \cdot 10^{-4} m^2 s^{-1}$, $s_T 0,3-0,6$; 101 - v. okraj mapy: $T 1,1 \cdot 10^{-4} - 1,1 \cdot 10^{-4} m^2 s^{-1}$, $s_T 0,3-0,6$; 102 - v. okraj mapy: $T 1,1 \cdot 10^{-4} - 1,1 \cdot 10^{-4} m^2 s^{-1}$, $s_T 0,3-0,6$; 103 - v. okraj mapy: $T 1,1 \cdot 10^{-4} - 1,1 \cdot 10^{-4} m^2 s^{-1}$, $s_T 0,3-0,6$; 104 - v. okraj mapy: $T 1,1 \cdot 10^{-4} - 1,1 \cdot 10^{-4} m^2 s^{-1}$, $s_T 0,3-0,6$; 105 - v. okraj mapy: $T 1,1 \cdot 10^{-4} - 1,1 \cdot 10^{-4} m^2 s^{-1}$, $s_T 0,3-0,6$; 106 - v. okraj mapy: $T 1,1 \cdot 10^{-4} - 1,1 \cdot 10^{-4} m^2 s^{-1}$, $s_T 0,3-0,6$; 107 - v. okraj mapy: $T 1,1 \cdot 10^{-4} - 1,1 \cdot 10^{-4} m^2 s^{-1}$, $s_T 0,3-0,6$; 108 - v. okraj mapy: $T 1,1 \cdot 10^{-4} - 1,1 \cdot 10^{-4} m^2 s^{-1}$, $s_T 0,3-0,6$; 109 - v. okraj mapy: $T 1,1 \cdot 10^{-4} - 1,1 \cdot 10^{-4} m^2 s^{-1}$, $s_T 0,3-0,6$; 110 - v. okraj mapy: $T 1,1 \cdot 10^{-4} - 1,1 \cdot 10^{-4} m^2 s^{-1}$, $s_T 0,3-0,6$; 111 - v. okraj mapy: $T 1,1 \cdot 10^{-4} - 1,1 \cdot 10^{-4} m^2 s^{-1}$, $s_T 0,3-0,6$; 112 - v. okraj mapy: $T 1,1 \cdot 10^{-4} - 1,1 \cdot 10^{-4} m^2 s^{-1}$, $s_T 0,3-0,6$; 113 - v. okraj mapy: $T 1,1 \cdot 10^{-4} - 1,1 \cdot 10^{-4} m^2 s^{-1}$, $s_T 0,3-0,6$; 114 - v. okraj mapy: $T 1,1 \cdot 10^{-4} - 1,1 \cdot 10^{-4} m^2 s^{-1}$, $s_T 0,3-0,6$; 115 - v. okraj mapy: $T 1,1 \cdot 10^{-4} - 1,1 \cdot 10^{-4} m^2 s^{-1}$, $s_T 0,3-0,6$; 116 - v. okraj mapy: $T 1,1 \cdot 10^{-4} - 1,1 \cdot 10^{-4} m^2 s^{-1}$, $s_T 0,3-0,6$; 117 - v. okraj mapy: $T 1,1 \cdot 10^{-4} - 1,1 \cdot 10^{-4} m^2 s^{-1}$, $s_T 0,3-0,6$; 118 - v. okraj mapy: $T 1,1 \cdot 10^{-4} - 1,1 \cdot 10^{-4} m^2 s^{-1}$, $s_T 0,3-0,6$; 119 - v. okraj mapy: $T 1,1 \cdot 10^{-4} - 1,1 \cdot 10^{-4} m^2 s^{-1}$, $s_T 0,3-0,6$; 120 - v. okraj mapy: $T 1,1 \cdot 10^{-4} - 1,1 \cdot 10^{-4} m^2 s^{-1}$, $s_T 0,3-0,6$; 121 - v. okraj mapy: $T 1,1 \cdot 10^{-4} - 1,1 \cdot 10^{-4} m^2 s^{-1}$, $s_T 0,3-0,6$; 122 - v. okraj mapy: $T 1,1 \cdot 10^{-4} - 1,1 \cdot 10^{-4} m^2 s^{-1}$, $s_T 0,3-0,6$; 123 - v. okraj mapy: $T 1,1 \cdot 10^{-4} - 1,1 \cdot 10^{-4} m^2 s^{-1}$, $s_T 0,3-0,6$; 124 - v. okraj mapy: $T 1,1 \cdot 10^{-4} - 1,1 \cdot 10^{-4} m^2 s^{-1}$, $s_T 0,3-0,6$; 125 - v. okraj mapy: $T 1,1 \cdot 10^{-4} - 1,1 \cdot 10^{-4} m^2 s^{-1}$, $s_T 0,3-0,6$; 126 - v. okraj mapy: $T 1,1 \cdot 10^{-4} - 1,1 \cdot 10^{-4} m^2 s^{-1}$, $s_T 0,3-0,6$; 127 - v. okraj mapy: $T 1,1 \cdot 10^{-4} - 1,1 \cdot 10^{-4} m^2 s^{-1}$, $s_T 0,3-0,6$; 128 - v. okraj mapy: $T 1,1 \cdot 10^{-4} - 1,1 \cdot 10^{-4} m^2 s^{-1}$, $s_T 0,3-0,6$; 129 - v. okraj mapy: $T 1,1 \cdot 10^{-4} - 1,1 \cdot 10^{-4} m^2 s^{-1}$, $s_T 0,3-0,6$; 130 - v. okraj mapy: $T 1,1 \cdot 10^{-4} - 1,1 \cdot 10^{-4} m^2 s^{-1}$, $s_T 0,3-0,6$; 131 - v. okraj mapy: $T 1,1 \cdot 10^{-4} - 1,1 \cdot 10^{-4} m^2 s^{-1}$, $s_T 0,3-0,6$; 132 - v. okraj mapy: $T 1,1 \cdot 10^{-4} - 1,1 \cdot 10^{-4} m^2 s^{-1}$, $s_T 0,3-0,6$; 133 - v. okraj mapy: $T 1,1 \cdot 10^{-4} - 1,1 \cdot 10^{-4} m^2 s^{-1}$, $s_T 0,3-0,6$; 134 - v. okraj mapy: $T 1,1 \cdot 10^{-4} - 1,1 \cdot 10^{-4} m^2 s^{-1}$, $s_T 0,3-0,6$; 135 - v. okraj mapy: $T 1,1 \cdot 10^{-4} - 1,1 \cdot 10^{-4} m^2 s^{-1}$, $s_T 0,3-0,6$; 136 - v. okraj mapy: $T 1,1 \cdot 10^{-4} - 1,1 \cdot 10^{-4} m^2 s^{-1}$, $s_T 0,3-0,6$; 137 - v. okraj mapy: $T 1,1 \cdot 10^{-4} - 1,1 \cdot 10^{-4} m^2 s^{-1}$, $s_T 0,3-0,6$; 138 - v. okraj mapy: $T 1,1 \cdot 10^{-4} - 1,1 \cdot 10^{-4} m^2 s^{-1}$, $s_T 0,3-0,6$; 139 - v. okraj mapy: $T 1,1 \cdot 10^{-4} - 1,1 \cdot 10^{-4} m^2 s^{-1}$, $s_T 0,3-0,6$; 140 - v. okraj mapy: $T 1,1 \cdot 10^{-4} - 1,1 \cdot 10^{-4} m^2 s^{-1}$, $s_T 0,3-0,6$; 141 - v. okraj mapy: $T 1,1 \cdot 10^{-4} - 1,1 \cdot 10^{-4} m^2 s^{-1}$, $s_T 0,3-0,6$; 142 - v. okraj mapy: $T 1,1 \cdot 10^{-4} - 1,1 \cdot 10^{-4} m^2 s^{-1}$, $s_T 0,3-0,6$; 143 - v. okraj mapy: $T 1,1 \cdot 10^{-4} - 1,1 \cdot 10^{-4} m^2 s^{-1}$, $s_T 0,3-0,6$; 144 - v. okraj mapy: $T 1,1 \cdot 10^{-4} - 1,1 \cdot 10^{-4} m^2 s^{-1}$, $s_T 0,3-0,6$; 145 - v. okraj mapy: $T 1,1 \cdot 10^{-4} - 1,1 \cdot 10^{-4} m^2 s^{-1}$, $s_T 0,3-0,6$; 146 - v. okraj mapy: $T 1,1 \cdot 10^{-4} - 1,1 \cdot 10^{-4} m^2 s^{-1}$, $s_T 0,3-0,6$; 147 - v. okraj mapy: $T 1,1 \cdot 10^{-4} - 1,1 \cdot 10^{-4} m^2 s^{-1}$, $s_T 0,3-0,6$; 148 - v. okraj mapy: $T 1,1 \cdot 10^{-4} - 1,1 \cdot 10^{-4} m^2 s^{-1}$, $s_T 0,3-0,6$; 149 - v. okraj mapy: $T 1,1 \cdot 10^{-4} - 1,1 \cdot 10^{-4} m^2 s^{-1}$, $s_T 0,3-0,6$; 150 - v. okraj mapy: $T 1,1 \cdot 10^{-4} - 1,1 \cdot 10^{-4} m^2 s^{-1}$, $s_T 0,3-0,6$; 151 - v. okraj mapy: $T 1,1 \cdot 10^{-4} - 1,1 \cdot 10^{-4} m^2 s^{-1}$, $s_T 0,3-0,6$; 152 - v. okraj mapy: $T 1,1 \cdot 10^{-4} - 1,1 \cdot 10^{-4} m^2 s^{-1}$, $s_T 0,3-0,6$; 153 - v. okraj mapy: $T 1,1 \cdot 10^{-4} - 1,1 \cdot 10^{-4} m^2 s^{-1}$, $s_T 0,3-0,6$; 154 - v. okraj mapy: $T 1,1 \cdot 10^{-4} - 1,1 \cdot 10^{-4} m^2 s^{-1}$, $s_T 0,3-0,6$; 155 - v. okraj mapy: $T 1,1 \cdot 10^{-4} - 1,1 \cdot 10^{-4} m^2 s^{-1}$, $s_T 0,3-0,6$; 156 - v. okraj mapy: $T 1,1 \cdot 10^{-4} - 1,1 \cdot 10^{-4} m^2 s^{-1}$, $s_T 0,3-0,6$; 157 - v. okraj mapy: $T 1,1 \cdot 10^{-4} - 1,1 \cdot 10^{-4} m^2 s^{-1}$, $s_T 0,3-0,6$; 158 - v. okraj mapy: $T 1,1 \cdot 10^{-4} - 1,1 \cdot 10^{-4} m^2 s^{-1}$, $s_T 0,3-0,6$; 159 - v. okraj mapy: $T 1,1 \cdot 10^{-4} - 1,1 \cdot 10^{-4} m^2 s^{-1}$, $s_T 0,3-0,6$; 160 - v. okraj mapy: $T 1,1 \cdot 10^{-4} - 1,1 \cdot 10^{-4} m^2 s^{-1}$, $s_T 0,3-0,6$; 161 - v. okraj mapy: $T 1,1 \cdot 10^{-4} - 1,1 \cdot 10^{-4} m^2 s^{-1}$, $s_T 0,3-0,6$; 162 - v. okraj mapy: $T 1,1 \cdot 10^{-4} - 1,1 \cdot 10^{-4} m^2 s^{-1}$, $s_T 0,3-0,6$; 163 - v. okraj mapy: $T 1,1 \cdot 10^{-4} - 1,1 \cdot 10^{-4} m^2 s^{-1}$, $s_T 0,3-0,6$; 164 - v. okraj mapy: $T 1,1 \cdot 10^{-4} - 1,1 \cdot 10^{-4} m^2 s^{-1}$, $s_T 0,3-0,6$; 165 - v. okraj mapy: $T 1,1 \cdot 10^{-4} - 1,1 \cdot 10^{-4} m^2 s^{-1}$, $s_T 0,3-0,6$; 166 - v. okraj mapy: $T 1,1 \cdot 10^{-4} - 1,1 \cdot 10^{-4} m^2 s^{-1}$, $s_T 0,3-0,6$; 167 - v. okraj mapy: $T 1,1 \cdot 10^{-4} - 1,1 \cdot 10^{-4} m^2 s^{-1}$, $s_T 0,3-0,6$; 168 - v. okraj mapy: $T 1,1 \cdot 10^{-4} - 1,1 \cdot 10^{-4} m^2 s^{-1}$, $s_T 0,3-0,6$; 169 - v. okraj mapy: $T 1,1 \cdot 10^{-4} - 1,1 \cdot 10^{-4} m^2 s^{-1}$, $s_T 0,3-0,6$; 170 - v. okraj mapy: $T 1,1 \cdot 10^{-4} - 1,1 \cdot 10^{-4} m^2 s^{-1}$, $s_T 0,3-0,6$; 171 - v. okraj mapy: $T 1,1 \cdot 10^{-4} - 1,1 \cdot 10^{-4} m^2 s^{-1}$, $s_T 0,3-0,6$; 172 - v. okraj mapy: $T 1,1 \cdot 10^{-4} - 1,1 \cdot 10^{-4} m^2 s^{-1}$, $s_T 0,3-0,6$; 173 - v. okraj mapy: $T 1,1 \cdot 10^{-4} - 1,1 \cdot 10^{-4} m^2 s^{-1}$, $s_T 0,3-0,6$; 174 - v. okraj mapy: $T 1,1 \cdot 10^{-4} - 1,1 \cdot 10^{-4} m^2 s^{-1}$, $s_T 0,3-0,6$; 175 - v. okraj map